

8. SPOJITÝ NOSNÍK

8.1. Statické veličiny spojitého nosníku stálého průřezu

M_b, M_c atd. podporové momenty

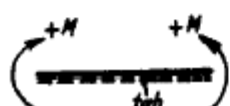
M_1 maximální mezipodporový moment v 1. poli

M_2 maximální mezipodporový moment v 2. poli

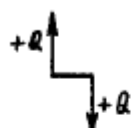
Q_{ab} posouvající síla v průřezu a pole ab

Q_{ba} posouvající síla průřezu b pole ab

A, B, C atd. podporové reakce



M — kladný ohybový moment



Q — kladná posouvající síla



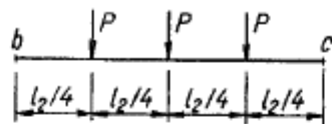
A — kladná reakce

V tabulkách jsou uvedeny maximální mezipodporové momenty:

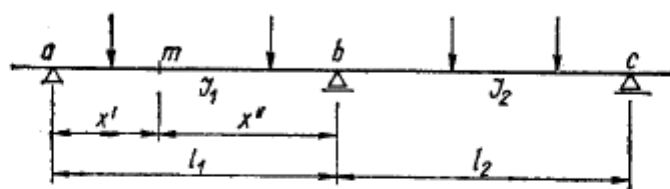
při dvou silách v poli vzniká max M pod prvním břemenem

při třech silách v poli vzniká max M pod středním břemenem

Je-li $\max M$ pod jiným břemenem, je to u příslušné hodnoty vyznačeno značkou *).



Obr. 8.



Obr. 9.

Ohybové momenty v působištích ostatních sil (při zatížení dvěma nebo třemi silami) se vypočtou pomocí dále uvedených obecných vzorců nebo použitím výrazů: např. ve druhém poli (bc): ohybový moment (obr. 8) při zatížení třemi stejnými silami pod prvním břemenem:

$${}^1M = Q_{bc} \frac{l}{4} + M_b = \left(\kappa_{bc} \frac{1}{4} + \kappa_b \right) Pl$$

ohybový moment pod třetím, posledním břemenem (obr. 8):

$${}^3M = -Q_{cb} \frac{l}{4} + M_c = \left(-\kappa_{cb} \frac{1}{4} + \kappa_c \right) Pl$$

kde κ_b, κ_c jsou součinitele podporových momentů M_b, M_c ,
 κ_{bc}, κ_{cb} — součinitele posouvajících sil Q_{bc}, Q_{cb} , obsažené v tabulce.

Podporové momenty spojitého nosníku složitěji zatížených je možno vypočítat z třímomentových rovnic (obr. 9).

Má-li spojitý nosník ve všech polích stejný průřez (stejný moment setrváčnosti J), použije se třímomentové rovnice ve tvaru:

$$l_1 M_a + 2(l_1 + l_2) M_b + l_2 M_c + \frac{\mathfrak{N}_{ab}}{l_1} + \frac{\mathfrak{N}_{cb}}{l_2} = 0$$

Mají-li pole spojitého nosníku stálé průřezy, avšak s rozdílnými momenty setrvačnosti, použije se třímomentových rovnic ve tvaru:

$$l'_1 M_a + 2(l'_1 + l'_2) M_b + l'_2 M_c + \frac{l'_1}{l_1} \frac{\mathfrak{M}_{ab}}{l_1} + \frac{l'_2}{l_2} \frac{\mathfrak{M}_{cb}}{l_2} = 0$$

kde $l'_i = l_i \frac{J_0}{J_t}$ a J_0 je zcela libovolně volitelný moment setrvačnosti.

Hodnoty $\mathfrak{M}_{ab} = 6 \int_a^b \mathfrak{M} x' dx$, $\mathfrak{M}_{ba} = 6 \int_a^b \mathfrak{M} x'' dx$ se vypočtou pro obecné zatížení přímo, pro některá zatížení je možno použít vzorců uvedených v tab. C.56

Ohybový moment mezipodporového průřezu m :

$$M_m = M_{m0} + M_a \frac{x''}{l_1} + M_b \frac{x'}{l_1}$$

M_{m0} je ohybový moment v průřezu m prostého nosníku. Posouvající síla průřezu m :

$$Q_m = Q_{m0} + \frac{M_b - M_a}{l_1}$$

Q_{m0} je posouvající síla v průřezu m prostého nosníku.

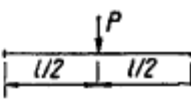
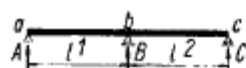
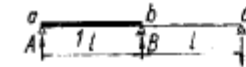
Reakce

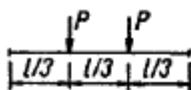
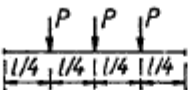
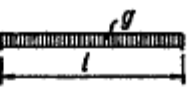
$$A = Q_{ab}$$

$$B = Q_{bc} - Q_{ba}$$

atd.

Tabulka C.69. Spojity nosník o dvou polích stejného rozpětí

Zatížení	Statické veličiny	
	M_b $\max M_1$ $\max M_2$ $C = Q_{ab} = -Q_{cb} = A$ B $Q_{bc} = -Q_{ba}$	$-0,1875 Pl$ $+0,1562 Pl$ $+0,1562 Pl$ $+0,3125 P$ $+1,3750 P$ $+0,6895 P$
	M_b $\max M_1$ $Q_{ab} = A$ B $C = -Q_{cb}$ Q_{ba} Q_{bc}	$-0,0937 Pl$ $+0,2031 Pl$ $+0,4062 P$ $+0,6875 P$ $-0,0937 P$ $-0,5937 P$ $+0,0937 P$

			
$-0,3333 Pl$	$-0,4687 Pl$	$-0,1250 gl^2$	$-0,0781 gl^2$
$+0,2222 Pl$	$+0,2656 Pl$	$+0,0703 gl^2$	—
$+0,2222 Pl$	$+0,2656 Pl$	$+0,0703 gl^2$	—
$+0,6666 P$	$+1,0312 P$	$+0,3750 gl$	$+0,1718 gl$
$+2,6667 P$	$+3,9376 P$	$+1,2500 gl$	$+0,6564 gl$
$+1,3333 P$	$+1,9688 P$	$+0,6250 gl$	$+0,3282 gl$
<hr/>			
$-0,1667 Pl$	$-0,2344 Pl$	$-0,0625 gl^2$	$-0,0391 gl^2$
$+0,2778 Pl$	$+0,3828 Pl$	$+0,0957 gl^2$	—
$+0,8333 P$	$+1,2656 P$	$+0,4375 gl$	$+0,2109 gl$
$+1,3334 P$	$+1,9688 P$	$+0,6250 gl$	$+0,3282 gl$
$-0,1667 P$	$-0,2344 P$	$-0,0625 gl$	$-0,0391 gl$
$-1,1667 P$	$-1,7344 P$	$-0,5625 gl$	$-0,2891 gl$
$+0,1667 P$	$+0,2344 P$	$+0,0625 gl$	$+0,0391 gl$